

Hjemmeeksamen V18

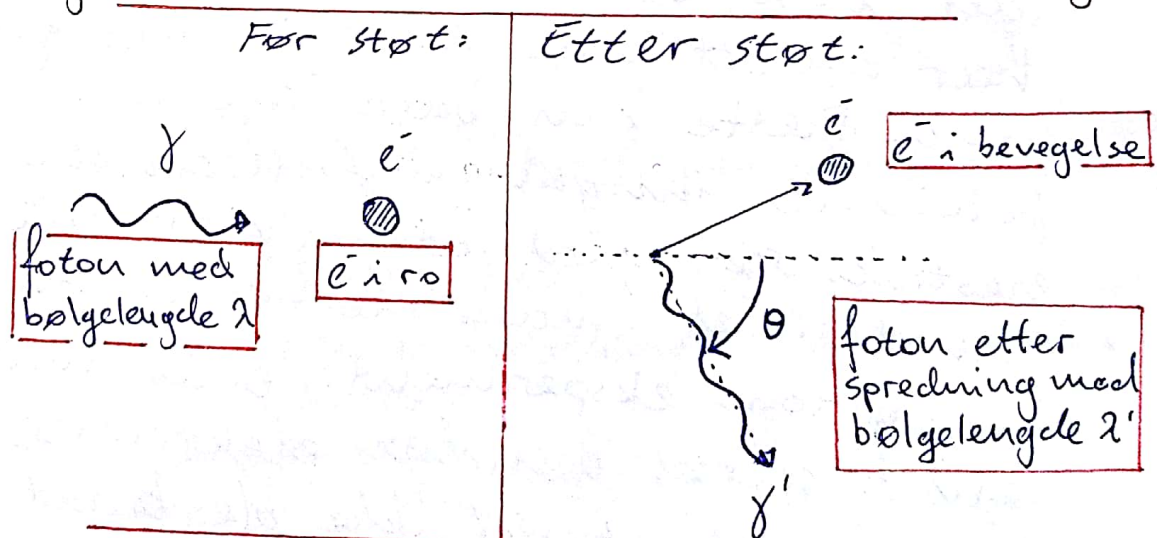
Kandidatnummer: 15194

Oppgave 1:

a1) Comptons formel er:

$$\lambda' - \lambda = \frac{h}{mc} (1 - \cos \theta), \quad (1)$$

der h er Planck's konstant, c er lyshastigheten, λ er bølglengden til fotonet før støtet, λ' er bølglengden til fotonet etter støtet, θ er vinkelen mellom innkomende fotonet og utgående fotonet, og m er massen til partikkelen fotonet støter bort i. Følgende er en skisse av fotonspredning:



Figur 1: Fotonspredning mot elektron.

Comptonbølglengden $\lambda_c(m) = \frac{h}{mc}$ for et elektron finner vi ved å sette inn elektronmassen for m :

$$\lambda_{c,e} = \frac{h}{m_e c} \approx \underline{\underline{2.426 \times 10^{-12} \text{ m}}}$$

a2) For å beregne spredningsvinkelen θ , gitt bølgelengden før og etter støtet (henholdsvis λ og λ'), kan vi bruke Comptons Formel (1):

$$\lambda = 0.0709 \text{ nm} \quad \lambda' = 0.0749 \text{ nm} \quad \lambda_c = \frac{h}{m_e c}$$

$$\Rightarrow \lambda' - \lambda = \lambda_c (1 - \cos \theta)$$

$$\Rightarrow \theta = \cos^{-1} \left(1 - \frac{\lambda' - \lambda}{\lambda_c} \right) \approx \underline{130.45^\circ}$$

Av de fire grafene i figur 1 i oppgaveteksten, er denne vinkelen nærmest grafen for $\theta = 135^\circ$. Det var altså i denne vinkelen han målte $\lambda' = 0.0749 \text{ nm}$.

a3) Første toppen til venstre i spektrene (der $\lambda' = \lambda$) kommer av at fotoner ikke har mistet noe energi etter spredning. Dette kan bare skje hvis fotonene inngår i fullstendig elastiske støt med atomkjerner i materialet (materialet er grafitt i Comptons eksperiment), eller med veldig sterkt bundne elektroner. Grunnen til at det ikke ble brukt synlig lys (lys med bølgelengde i intervallet $\lambda \in [400 \text{ nm}, 700 \text{ nm}]$) i dette eksperimentet er fordi det ville vært vanskelig å se en systematisk forskjell $\lambda' - \lambda$ i datasettet.

Til og med når spredningsvinkelen θ er maksimal ($\theta = \pi$), blir $\lambda' - \lambda$ veldig liten. Tar som eksempel $\lambda = 500 \text{ nm}$:

$$\lambda' - \lambda = \lambda_c (1 - \cos(\pi))$$

$$\Rightarrow \lambda' - \lambda = 4.852 \cdot 10^{-12} \text{ m}$$

Differansen mellom bølglengdene er altså cirka 0.0049 nm , som er utrolig vanskelig å måle med fotoner som har bølglengde på 500 nm .

b1) Finner først gjennomsnittlig energi:

$$\langle E \rangle = \frac{3}{2} k_B T, \quad k_B = 1.38 \times 10^{-23} \frac{\text{m}^2 \text{kg}}{\text{s}^2 \text{K}}, \quad T = 25^\circ \text{C}$$

$$\Rightarrow \langle E \rangle = \frac{3}{2} \cdot 1.38 \times 10^{-23} \frac{\text{m}^2 \text{kg}}{\text{s}^2 \text{K}} \cdot 298.15 \text{ K}$$

$$\Rightarrow \langle E \rangle \approx \underline{\underline{6.172 \times 10^{-21} \text{ J}}}$$

Finner så gjennomsnittss bevegelsesmengde:

$$\langle E \rangle = \frac{\langle p \rangle^2}{2m} \Rightarrow \langle p \rangle = \sqrt{2m\langle E \rangle} = \sqrt{3mk_B T}$$

$$\Rightarrow \langle p \rangle = \sqrt{3m_n k_B T}, \quad m_n = \text{neutronmassen} \approx 1.66 \times 10^{-27} \text{ kg}$$

$$\Rightarrow \langle p \rangle \approx \underline{\underline{4.53 \times 10^{-24} \text{ kg} \frac{\text{m}}{\text{s}}}}$$

Får gjennomsnittss bølglengde fra De Broglie:

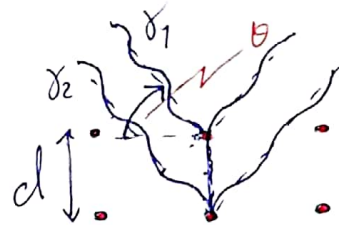
$$\lambda = \frac{h}{p} \Rightarrow \langle \lambda \rangle = \frac{h}{\langle p \rangle}, \quad h = \text{Planck's konstant}$$

$$\Rightarrow \langle \lambda \rangle = \frac{6.63 \cdot 10^{-34} \frac{\text{m}^2 \text{kg}}{\text{s}}}{4.53 \cdot 10^{-24} \text{ kg} \frac{\text{m}}{\text{s}}} \approx \underline{\underline{1.464 \text{ \AA}}}$$

b2) Betrakter nøytronene som bølger med $\lambda = 1.85 \text{ \AA}$. Da blir det størst intensitet når bølgene interfererer konstruktivt etter refleksjon. Dette kan beskrives matematisk som:

$$n\lambda = 2d \sin \theta$$

$$n = 1, 2, 3, 4, \dots$$



Figur 2: Bragg Diffraksjon

Løser vi for θ , med $d = 2.82 \text{ \AA}$, får vi:

$$\theta = \sin^{-1} \left(\frac{n\lambda}{2d} \right), \quad \lambda = 1.85 \text{ \AA}, \quad d = 2.82 \text{ \AA}, \quad n = 1, 2, 3, \dots$$

$$n = 1 \Rightarrow \theta = 19.14^\circ$$

Det området i vinkler som kreves for å filtrere ut bølglengder med spredning mindre enn 10% kan vi beregne:

$$\frac{|\Delta\lambda|}{\lambda} < 10\% \Rightarrow |\lambda' - \lambda| \leq 0.1\lambda$$

$$\Rightarrow \lambda' \in [0.9\lambda, 1.1\lambda]$$

Setter inn disse grensene i θ uttrykket for å få vinkel området:

$$\theta \in [\theta_1, \theta_2], \quad \theta_1 = \sin^{-1} \left(\frac{0.9 \cdot 1.85 \text{ \AA}}{2 \cdot 2.82 \text{ \AA}} \right) \approx 17.7^\circ$$

$$\theta_2 = \sin^{-1} \left(\frac{1.1 \cdot 1.85 \text{ \AA}}{2 \cdot 2.82 \text{ \AA}} \right) \approx 21.2^\circ$$

$$\Rightarrow \underline{\underline{\theta \in [17.7^\circ, 21.2^\circ]}} \text{ for spredning under 10\%}$$

Oppgave 2:

a) Kan beregne normeringskonstanten ved å kreve at $\int_{-\infty}^{\infty} |\Psi|^2 dx = 1$:

$$\Psi(x,0) = A \cdot e^{-\frac{(x-x_0)^2}{4a^2}} \cdot e^{ikx}$$

$$|\Psi(x,0)|^2 = A^2 e^{-\frac{(x-x_0)^2}{2a^2}}$$

$$\Rightarrow \int_{-\infty}^{\infty} A^2 e^{-\frac{(x-x_0)^2}{2a^2}} dx = 1$$

Har formel 51. på side 155 i Rottmann formelsamlingen som sier:

$$\int_{-\infty}^{\infty} e^{-(ax^2+2bx+c)} dx = \sqrt{\frac{\pi}{a}} e^{\frac{b^2-ac}{a}}$$

I dette tilfellet kan vi løse integralet ved å sette $a = \frac{1}{2a^2}$, $b = \frac{-x_0}{2a^2}$ og $c = \frac{x_0^2}{2a^2}$. Da får vi at:

$$A^2 \cdot \sqrt{\frac{\pi}{\frac{1}{2a^2}}} e^{\left(\frac{\frac{x_0^2}{4a^4}}{\frac{1}{2a^2}} - \frac{\frac{x_0^2}{4a^4}}{\frac{1}{2a^2}} \right)} = 1$$

$\xrightarrow{\quad} 0$

$$\Rightarrow A^2 = \sqrt{\frac{1}{2\pi a^2}} \Rightarrow \underline{\underline{A = \left(\frac{1}{2\pi a^2} \right)^{\frac{1}{4}}}}$$

Plottet ligger nederst i pdf-filen.

Energien til partikkelen er gitt ved:

$\langle H \rangle = \langle K \rangle$ gitt at potensialet $V=0$...

Beregner $\langle K \rangle = \langle \psi | \hat{K} | \psi \rangle$:

$$\langle K \rangle = \int_{-\infty}^{\infty} \psi^* \hat{K} \psi dx, \text{ Setter inn } \hat{K} = \frac{\hat{p}^2}{2m}$$

$$\Rightarrow \langle K \rangle = \int_{-\infty}^{\infty} \psi^* \frac{\hat{p}^2}{2m} \psi dx, \quad \hat{p} = \frac{\hbar}{i} \frac{d}{dx}$$

$$\Rightarrow \langle K \rangle = \int_{-\infty}^{\infty} \psi^* \frac{\hbar^2}{i^2} \cdot \frac{1}{2m} \frac{d^2}{dx^2} \psi dx$$

Dobbeltdriveres ψ :

$$\frac{\partial^2}{\partial x^2} \psi = \frac{\partial}{\partial x} \left[\frac{\partial}{\partial x} \left(e^{-\frac{(x-x_0)^2}{4a^2}} e^{ikx} \right) \right]$$

$$\Rightarrow \frac{\partial}{\partial x} \left[-\frac{(x-x_0)}{2a^2} e^{-\frac{(x-x_0)^2}{4a^2}} e^{ikx} + e^{-\frac{(x-x_0)^2}{4a^2}} i k e^{ikx} \right]$$

$$\Rightarrow \frac{\partial}{\partial x} \left[\psi \left(-\frac{(x-x_0)}{2a^2} + ik \right) \right] = \frac{\partial}{\partial x} (\psi) \cdot \left(ik - \frac{(x-x_0)}{2a^2} \right) + \left(-\frac{1}{2a^2} \cdot \psi \right)$$

$$\Rightarrow \frac{\partial^2}{\partial x^2} \psi = \psi \left(ik - \frac{(x-x_0)}{2a^2} \right)^2 - \frac{\psi}{2a^2} = \psi \left(\left(ik - \frac{(x-x_0)}{2a^2} \right)^2 - \frac{1}{2a^2} \right)$$

Setter dette inn i integralet:

$$\langle K \rangle = -\frac{\hbar^2}{2m} A \int_{-\infty}^{\infty} \psi^* \psi \left(\left(ik - \frac{(x-x_0)}{2a^2} \right)^2 - \frac{1}{2a^2} \right) dx$$

$$\Rightarrow \langle K \rangle = -\frac{\hbar^2}{2m} A \int_{-\infty}^{\infty} e^{-\frac{(x-x_0)^2}{2a^2}} \left(-k^2 - 2ik \frac{(x-x_0)}{2a^2} + \frac{(x-x_0)^2}{4a^4} - \frac{1}{2a^2} \right) dx$$

$$\Rightarrow \langle K \rangle = -\frac{\hbar^2}{2m} A \int_{-\infty}^{\infty} e^{-\frac{(x-x_0)^2}{2a^2}} \left(\frac{(x-x_0)^2 - 4ika^2(x-x_0) - 2a^2(2a^2k^2 + 1)}{4a^4} \right) dx$$

Spalter opp i tre integraler:

$$\text{I: } \int_{-\infty}^{\infty} (x-x_0)^2 e^{-\frac{(x-x_0)^2}{2a^2}} dx$$

$$\text{II: } \int_{-\infty}^{\infty} -4ika^2(x-x_0) e^{-\frac{(x-x_0)^2}{2a^2}} dx$$

$$\text{III: } \int_{-\infty}^{\infty} -2a^2(2a^2k^2 + 1) e^{-\frac{(x-x_0)^2}{2a^2}} dx$$

Disse tre kan alle løses ved bruk av likninger 49) og 50) på side 155 i Rottmann's.

I: Benytter variabelskifte $u = (x - x_0)$:

$$\int_{-\infty}^{\infty} u^2 e^{-\frac{1}{2a^2} u^2} du$$

$$du = dx$$

Formel 50) gir:

$$\int_{-\infty}^{\infty} u^2 e^{-\frac{1}{2a^2} u^2} du = \left(\frac{1}{2a^2}\right)^{-\frac{3}{2}} \Gamma\left(\frac{3}{2}\right) = (2a^2)^{\frac{3}{2}} \cdot \frac{\sqrt{\pi}}{2}$$

II: Ser at dette integralet er anti-symmetrisk rundt origo, og må derfor være lik null.

III: Variabelskifte $u = (x - x_0)$ gir:

$$-2a^2(2a^2k^2 + 1) \int_{-\infty}^{\infty} e^{-\frac{1}{2a^2} u^2} du, \text{ bruker formel 49):}$$

$$= -2a^2(2a^2k^2 + 1) \sqrt{2a^2\pi}$$

Slår vi sammen resultatene får vi energien:

$$\langle K \rangle = \frac{-\hbar^2}{8a^4m} A^2 \left((2a^2)^{\frac{3}{2}} \cdot \frac{\sqrt{\pi}}{2} - 2a^2(2a^2k^2 + 1) \sqrt{2a^2\pi} \right)$$

Setter inn $A = \left(\frac{1}{2\pi a^2}\right)^{\frac{1}{4}}$ og får:

$$\langle K \rangle = \frac{-\hbar^2}{8a^4m} \left(\frac{1}{2\pi a^2}\right)^{\frac{1}{2}} \left(2\pi a^3 - 2a^2(2a^2k^2 + 1) \sqrt{2a^2\pi} \right)$$

Innsetting av tall gir en energi på:

$$\underline{\underline{\langle K \rangle = 11.25 \text{ MeV}}}$$

b)

Har potensialet gitt ved:

$$V(x) = \begin{cases} 0 & \text{for } 0 \leq x \leq x_1 \\ V_0 & \text{for } x_1 \leq x \leq x_2 \\ 0 & \text{for } x_2 \leq x \leq \infty \end{cases}$$

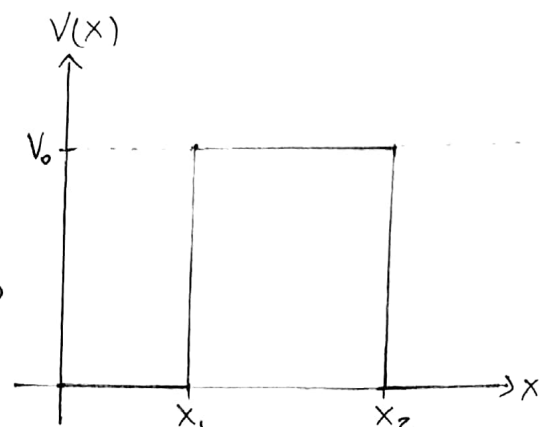


Fig 3: Skisse av $V(x)$

Løser TUSL for disse tre områdene:

$$\underline{0 \leq x \leq x_1}: -\frac{\hbar^2}{2m} \frac{\partial^2}{\partial x^2} \psi = E\psi \quad (V=0)$$

$$\Rightarrow \frac{\partial^2}{\partial x^2} \psi = -k^2 \psi, \quad k = \frac{\sqrt{2mE}}{\hbar}$$

Generelle løsning:

$$\underline{\psi_1(x) = A e^{ikx} + B e^{-ikx}}$$

$$\underline{x_1 \leq x \leq x_2}: -\frac{\hbar^2}{2m} \frac{\partial^2}{\partial x^2} \psi + V_0 \psi = E\psi$$

$$\Rightarrow \frac{\partial^2}{\partial x^2} \psi = K^2 \psi, \quad K = \frac{\sqrt{2m(V_0 - E)}}{\hbar}$$

Generelle løsning:

$$\underline{\psi_2(x) = C e^{Kx} + D e^{-Kx}}$$

$$\underline{x_2 \leq x \leq \infty}: -\frac{\hbar^2}{2m} \frac{\partial^2}{\partial x^2} \psi = E\psi$$

$$\Rightarrow \frac{\partial^2}{\partial x^2} \psi = -k^2 \psi, \quad k = \frac{\sqrt{2mE}}{\hbar}$$

Generelle løsning:

$$\underline{\psi_3(x) = F e^{ikx} + G e^{-ikx}}$$

Siden partikkelen kommer fra venstre, så kan vi ikke ha en bølge som beveger seg mot venstre på høyre side av potensialbarrieren. Setter derfor G=0.

c) Bruker kontinuitetsargument i x_1 og x_2 for å beregne sammenhenger mellom koefisientene A, B, C, D, E og F. Det vi til slutt vil finne er transmissjonskoeffisienten, her gitt ved:

$$T = \frac{|F|^2}{|A|^2}$$

Kræver at udtrykkene er kontinuerlige og at deres deriverte også er kontinuerlige:

$$\cdot \Psi_1(x_1) = \Psi_2(x_1) \Rightarrow A e^{ikx_1} + B e^{-ikx_1} = C e^{Kx_1} + D e^{-Kx_1} \quad (2)$$

$$\cdot \Psi_2(x_2) = \Psi_3(x_2) \Rightarrow C e^{Kx_2} + D e^{-Kx_2} = F e^{ikx_2} \quad (3)$$

$$\cdot \frac{\partial}{\partial x} \Psi_1(x_1) = \frac{\partial}{\partial x} \Psi_2(x_1) \Rightarrow ik A e^{ikx_1} - ik B e^{-ikx_1} = K C e^{Kx_1} - K D e^{-Kx_1} \quad (4)$$

$$\cdot \frac{\partial}{\partial x} \Psi_2(x_2) = \frac{\partial}{\partial x} \Psi_3(x_2) \Rightarrow K C e^{Kx_2} - K D e^{-Kx_2} = ik F e^{ikx_2} \quad (5)$$

Slår sammen (2) og (4), og slår sammen (3) og (5):

(2) og (4):

$$2: B e^{-ikx_1} = C e^{Kx_1} + D e^{-Kx_1} - A e^{ikx_1}$$

$$4: B e^{-ikx_1} = A e^{ikx_1} - \frac{K}{ik} (C e^{Kx_1} - D e^{-Kx_1})$$

$$\Rightarrow C e^{Kx_1} + D e^{-Kx_1} - A e^{ikx_1} = A e^{ikx_1} - \frac{K}{ik} (C e^{Kx_1} - D e^{-Kx_1})$$

$$\Rightarrow 2 A e^{ikx_1} = (1 - i \frac{K}{k}) C e^{Kx_1} + (1 + i \frac{K}{k}) D e^{-Kx_1} \quad (6)$$

(3) og (5):

$$3: D e^{-Kx_2} = F e^{ikx_2} - C e^{Kx_2}$$

$$5: D e^{-Kx_2} = \frac{1}{K} (K C e^{Kx_2} - ik F e^{ikx_2})$$

$$\Rightarrow F e^{ikx_2} - C e^{Kx_2} = C e^{Kx_2} - \frac{ik}{K} F e^{ikx_2}$$

$$\Rightarrow 2 C e^{Kx_2} = F e^{ikx_2} (1 + \frac{ik}{K})$$

Skriver om x_2 til å være $x_2 = x_1 + \Delta x$:

$$\Rightarrow 2 C e^{K(x_1 + \Delta x)} = F e^{ik(x_1 + \Delta x)} (1 + \frac{ik}{K})$$

$$\Rightarrow 2 C e^{Kx_1} \cdot e^{K\Delta x} = F e^{ik(x_1 + \Delta x)} (1 + \frac{ik}{K})$$

$$\Rightarrow C e^{Kx_1} = \frac{1}{2} e^{-K\Delta x} F e^{ikx_2} (1 + \frac{ik}{K}) \quad (7)$$

Kan finne sammenheng mellom D og F på samme måte via likninger (3) og (5):

(3) og (5):

$$3: (e^{Kx_2} = Fe^{ikx_2} - De^{-Kx_2})$$

$$5: (e^{Kx_2} = \frac{1}{K}(ikFe^{ikx_2} + KDe^{-Kx_2}))$$

$$\Rightarrow Fe^{ikx_2} - De^{-Kx_2} = \frac{1}{K}(ikFe^{ikx_2} + KDe^{-Kx_2})$$

$$\Rightarrow 2De^{-Kx_2} = Fe^{ikx_2}(1 - \frac{ik}{K})$$

Definerer $x_2 = x_1 + \Delta x$ på samme måte som før:

$$\Rightarrow 2De^{-K(x_1 + \Delta x)} = Fe^{ikx_2}(1 - \frac{ik}{K})$$

$$\Rightarrow 2De^{-Kx_1} \cdot e^{-K\Delta x} = Fe^{ikx_2}(1 - \frac{ik}{K})$$

$$\Rightarrow De^{-Kx_1} = \frac{1}{2}e^{K\Delta x} Fe^{ikx_2}(1 - \frac{ik}{K}) \quad (8)$$

Setter likninger (7) og (8) inn i likning (6), det gir:

$$2Ae^{ikx_1} = (1 - \frac{ik}{K}) \cdot (\frac{1}{2}e^{-K\Delta x} Fe^{ikx_2}(1 + \frac{ik}{K})) + (1 + \frac{ik}{K}) \cdot (\frac{1}{2}e^{K\Delta x} Fe^{ikx_2}(1 - \frac{ik}{K}))$$

$$\Rightarrow 2Ae^{ikx_1} = \frac{1}{2}Fe^{ikx_2} (e^{-K\Delta x}(1 - \frac{ik}{K})(1 + \frac{ik}{K}) + e^{K\Delta x}(1 + \frac{ik}{K})(1 - \frac{ik}{K}))$$

$$\Rightarrow 2Ae^{ikx_1} = \frac{1}{2}Fe^{ikx_2} (e^{-K\Delta x}(2 + i(\frac{K^2 - k^2}{Kk})) + e^{K\Delta x}(2 + i(\frac{K^2 - k^2}{Kk})))$$

$$\Rightarrow 2Ae^{ikx_1} = \frac{1}{2}Fe^{ikx_2} (2(e^{K\Delta x} + e^{-K\Delta x}) + i(\frac{K^2 - k^2}{Kk})(e^{K\Delta x} - e^{-K\Delta x}))$$

Brukes definisjonene av sinh og cosh funksjonene for å skrive om til:

$$\Rightarrow 2Ae^{ikx_1} = \frac{1}{2}Fe^{ikx_2} (4\cosh(K\Delta x) + 2i(\frac{K^2 - k^2}{Kk})\sinh(K\Delta x))$$

Brukes at absoluttverdiene av komplekse eksponentene er lik 1 for å få:

$$|\frac{A}{F}| = |\cosh(K\Delta x) + i(\frac{K^2 - k^2}{2Kk})\sinh(K\Delta x)|$$

Her tar vi absoluttverdien av et kompleks tall $|a+bi| = \sqrt{a^2+b^2}$, og opphøyer i andre på begge sider:

$$\Rightarrow \left| \frac{A}{F} \right|^2 = \cosh^2(K\Delta x) + \left(\frac{K^2 - k^2}{2Kk} \right)^2 \sinh^2(K\Delta x)$$

Braker sammenhengen $\cosh^2 = \sinh^2 + 1$:

$$\Rightarrow \left| \frac{A}{F} \right|^2 = \sinh^2(K\Delta x) + 1 + \left(\frac{K^2 - k^2}{2Kk} \right)^2 \sinh^2(K\Delta x)$$

$$\Rightarrow \left| \frac{A}{F} \right|^2 = 1 + \left(1 + \left(\frac{K^2 - k^2}{2Kk} \right)^2 \right) \sinh^2(K\Delta x)$$

Beregner nå parentesen $\left(1 + \left(\frac{K^2 - k^2}{2Kk} \right)^2 \right)$:

$$1 + \left(\frac{K^2 - k^2}{2Kk} \right)^2 = 1 + \frac{K^4 - 2K^2k^2 + k^4}{4K^2k^2}$$

Skriver $1 = \frac{4K^2k^2}{4K^2k^2}$ og får:

$$\Rightarrow \frac{K^4 - 2K^2k^2 + k^4 + 4K^2k^2}{4K^2k^2} = \frac{(K^2 + k^2)^2}{4K^2k^2}$$

Setter vi inn definisjonene til K og k :

$$\Rightarrow \frac{\left(\frac{2m(V_0 - E)}{\hbar^2} + \frac{2mE}{\hbar^2} \right)^2}{4 \cdot \left(\frac{2m^2(V_0 - E)}{\hbar^2} \right) E} = \frac{V_0^2}{4E(V_0 - E)}$$

Dette returnerer:

$$\left| \frac{A}{F} \right|^2 = 1 + \frac{V_0^2}{4E(V_0 - E)} \sinh^2(K\Delta x)$$

Setter inn for κ og bruker at $T = \left| \frac{F}{A} \right|^2$:

$$T = \frac{1}{1 + \frac{V_0^2}{4E(V_0 - E)} \sinh^2\left(\Delta x \frac{\sqrt{2m(V_0 - E)}}{\hbar}\right)} \quad \square$$

d) Ja, den er størrelsesmessig forenlig med den store relative forskjellen mellom ^{232}Th og ^{218}Th fordi at hvis vi regner ut transmisjonskoeffisientene (antar at barrierene til ^{232}Th og ^{218}Th også har $V=V_0$ og bredde Δx som i ^{226}Ra tilfellet), så får vi:

$$E_{\alpha, ^{232}\text{Th}} = 4.08 \text{ MeV}, \quad T_{1/2, ^{232}\text{Th}} = 1.4 \times 10^{19} \text{ år}$$

$$\Rightarrow T(4.08 \text{ MeV}) \approx 8.2 \times 10^{-36}$$

$$E_{\alpha, ^{218}\text{Th}} = 9.85 \text{ MeV}, \quad T_{1/2, ^{218}\text{Th}} = 1.0 \times 10^{-7} \text{ s}$$

$$\Rightarrow T(9.85 \text{ MeV}) \approx 6.2 \times 10^{-32}$$

Seo at når transmisjonskoeffisienten øker så skal også halveringstiden minke, som forventet. Plottet ligger nederst i pdf-filen.

e) Siden energien til α -partikkelen i ^{226}Ra er lik 4.8 MeV , kan vi beregne transmisjonskoeffisienten ved formelen vi fant i oppgave c):

$$V_0 = 34 \text{ MeV}, \quad \Delta x = 17 \text{ fm}, \quad m = 4.14 \times 10^{-8} \frac{\text{eV}}{c^2}$$

$$\Rightarrow T(E=4.8 \text{ MeV}) \approx \underline{\underline{2.52 \times 10^{-35}}}$$

For at partikkelen skal transmittere må den altså treffe veggen $\frac{1}{T} = 3.97 \times 10^{34}$ ganger.

Hvis partikkelen har en hastighet på $v = 0.073c$ inne i kjerne med radius $R = 7.3 \text{ fm}$, kan tiden det tar mellom hver transmisjonssjansse beskrives ved:

$$t = \frac{2R}{v} \approx 6.67 \times 10^{-22} \text{ s}$$

Dette kan vi bruke sammen med antall treff det tar for transmisjon for å beregne teoretisk halveringstid:

$$\frac{2R}{v} \cdot \frac{1}{t} = \frac{t}{t} = 2.65 \times 10^{13} \text{ s} = \underline{839252 \text{ år}}$$

Oppgitte halveringstid for ^{226}Ra er $T_{1/2} = 1600 \text{ år}$. Det er altså mange feilkilder som ligger i antagelsene vi har gjort i utregningen.

f) Animasjonen viser sannsynlighetsfordelingen for posisjonen til partikkelen som er innestengt av potensialet V_0 . Partikkelen beveger seg mot potensialbarrieren og møter på høy impedans. Dette gjør at mesteparten av bølgepakken blir reflektert og forblir innestengt i atomkjernen. Siden impedansen ikke er uendelig stor, så blir også noe av bølgen transmittert i animasjonen, men den er vanskelig å se siden sannsynligheten for å finne partikkelen på andre siden av barrieren er så liten i forhold til sannsynligheten inne i kjernen.

Legger også merke til at sannsynligheten til partikkelen inne i kjernen er skarpest ved $t=0$, og sprer seg mer jevnt over området fra $x=0$ til $x=x_1$ med tiden (posisjonen blir mindre skarp med tiden). Denne simuleringen stemmer ganske bra overens med hva vi ville forvente for α -henfall.

g) Kvalitative forskjellen på potensialene er at potensial 1 er konstant i et område mens potensial 2 er som et felt radielt rundt kjernen. Potensial 2 er bedre fysisk beskrivelse av systemet på grunn av at α -partikkelen vil ha en ladning på $+2e$. Hvis ^{226}Ra har netto null ladning i starten vil den ha ladning $-2e$ etter henfallet. Denne ladningsforskjellen mellom ^{222}Ra og α -partikkelen resulterer i en tiltrekkende kraft F , som kan beskrives ved Coulomb's lov:

$$F = k_e \frac{Z_\alpha Z_0}{x^2} \quad \begin{cases} Z_\alpha = \alpha\text{-ladning} \\ Z_0 = ^{222}\text{Ra-ladning} \\ k_e = \text{Coulomb konstant.} \end{cases}$$

Denne kraften (siden den er konservativ) skal kunne beskrives ved et potensial V , der $F = -\nabla V$. Siden den første deriverte av potensial 2 returnerer Coulombs lov så er potensial 2 bra fysisk beskrivelse.

Forventer at transmisjonskoeffisienten for potensial 2 er større enn det vi fikk for potensial 1, med andre ord så burde

partikkelen bruke kortere tid på å
tunnellere ut av kjerne for potensial 2.
Animasjonen av bølgefunksjonen som
funksjon av posisjon og tid (med potensial
2 implementert) er ganske lik som for
potensial 1, i og med at det er litt
transmisjon og mye refleksjon. Ser igjen
at skarpheten til posisjonen minsker med
tiden.

Plots for 2a), 2d), and animation snapshots for 2f)

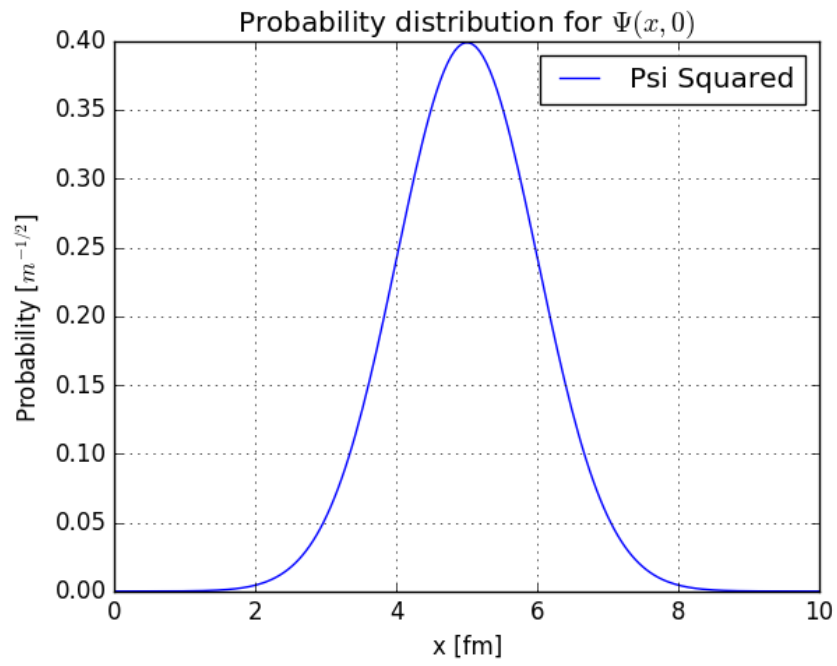


Figure 1: Plot of initial probability distribution

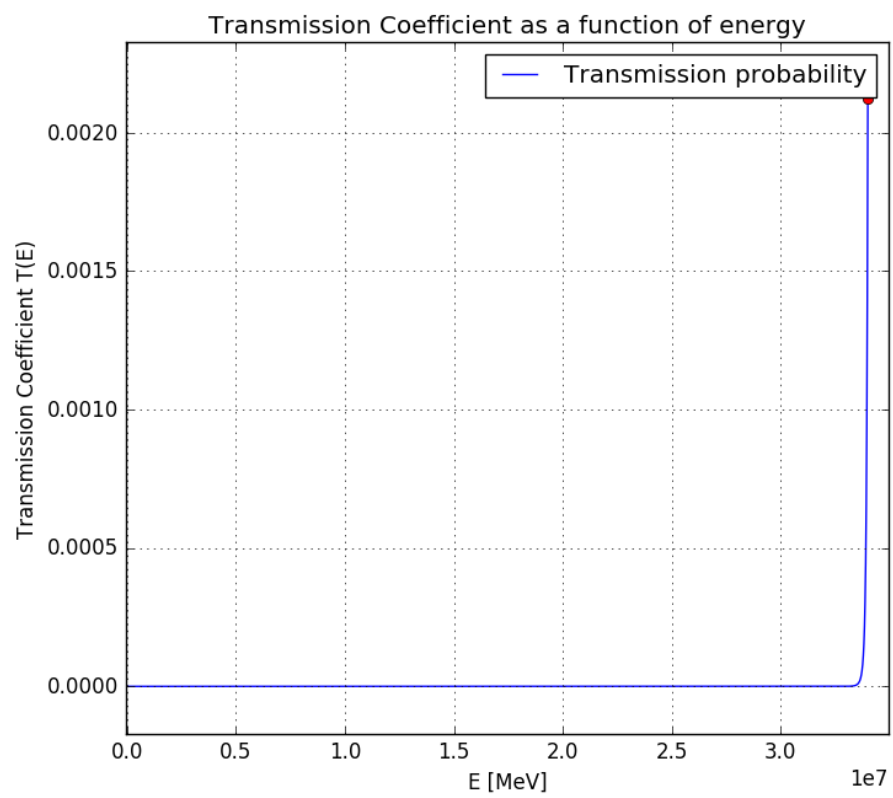


Figure 2: Plot of transmission coefficient as a function of energy

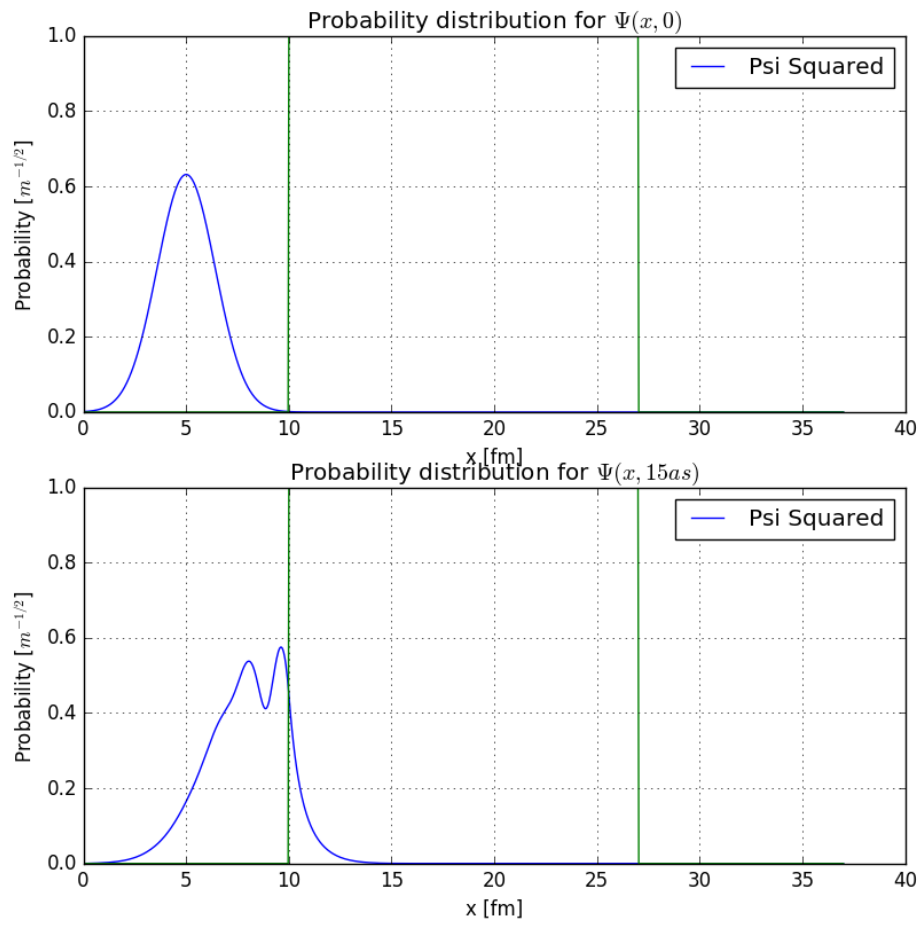


Figure 3: Plot of absolute value of wave function at times $t=0$ and $t=15$ attoseconds

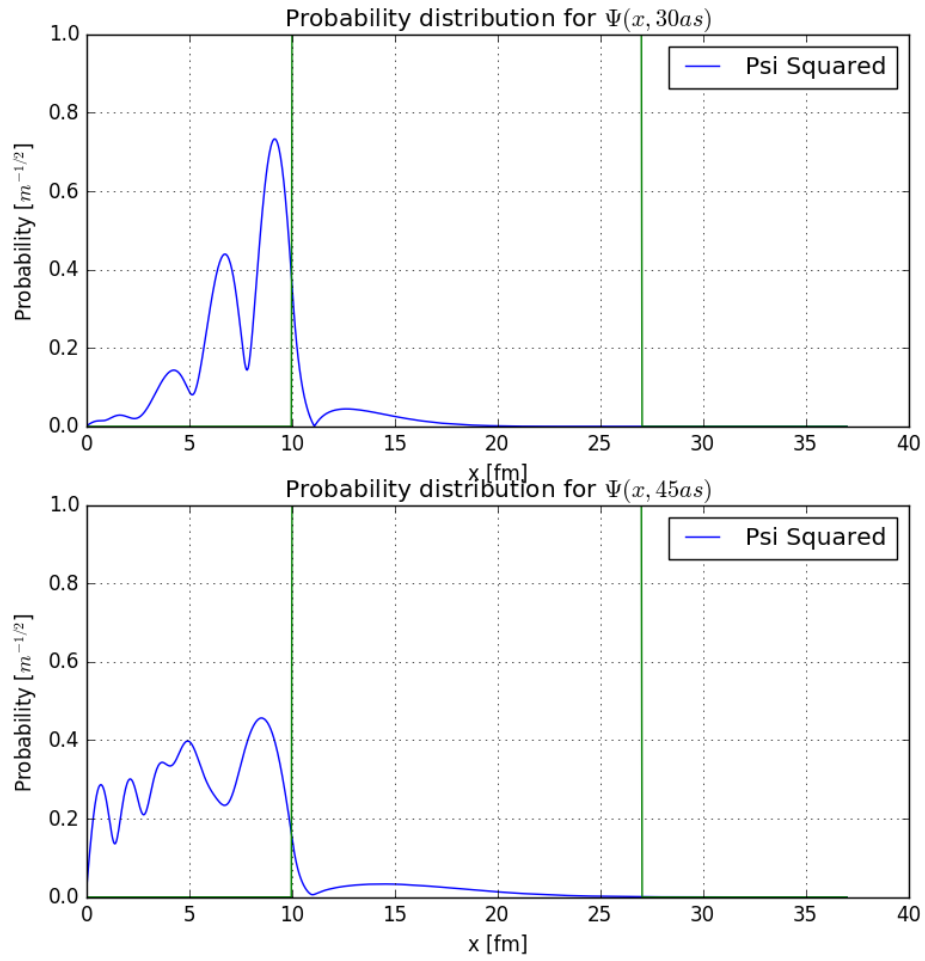


Figure 4: Plot of absolute value of wave function at times $t=30$ and $t=45$ attoseconds